

## ОБРАБОТКА ЭКСПЕРИМЕНТАЛЬНЫХ ДАННЫХ

УДК 621.317

Ю. Д. ПОПОВ

(Киев)

### ОБ ОДНОЙ ЗАДАЧЕ ОПТИМАЛЬНОГО ВЫБОРА РЕШАЮЩЕГО ПРАВИЛА ДЛЯ АЛФАВИТНОЙ СХЕМЫ УСТРАНЕНИЯ НЕОДНОЗНАЧНОСТИ ЦИКЛИЧЕСКИХ ИЗМЕРЕНИЙ

Рассмотрим систему уравнений

$$z = (k_1 + \varphi_1)/d_1 = \dots = (k_m + \varphi_m)/d_m, \quad (1)$$

где  $z$  — восстанавливаемая величина;  $k_i = [d_i z]^+$ ,  $\varphi_i = \{d_i z\}^+$  — соответственно целая и дробная части от  $d_i z$ ;  $\varphi_i = \{\widehat{\varphi}_i - \psi_i\}^+$ ,  $\psi_i$  — ошибка измерения  $i$ -й дробной части;  $d_i$  — масштабный коэффициент  $i$ -й шкалы. Задача оценки параметра  $k_m$  по измеренным значениям дробных частей  $\widehat{\varphi}_1, \dots, \widehat{\varphi}_m$  лежит в основе проблемы устранения неоднозначности циклических (многошкальных) измерений. В статье [1], из которой заимствуются терминология и обозначения, предложен эффективный метод (назовем его алфавитным) решения указанной проблемы. В настоящей работе на основе этого метода получено оптимальное (в некотором смысле) решающее правило, с помощью которого оценивается параметр  $k_m$ .

Не ограничивая существенно общности рассуждений, предположим, что  $m=3$ , случайные величины  $\psi_1$  и  $\psi_2$  независимы и распределены по нормальному закону с параметрами  $(0, \sigma)$ ,  $\psi_3 \equiv 0$ ,  $d_1, d_2, d_3$  — целые числа, расположенные в возрастающем порядке,  $d_3$  — фиксированное простое число. Из результатов работы [1] следует, что в этом случае вероятность правильной оценки параметра  $k_3$  равна

$$P\{\widehat{k}_3 = k_3\} = \int \int_{B(k_3)} g\left(\left\{x - a_3^{(1)}(k_3) + \frac{1}{2}\right\}^+ - \frac{1}{2}, \left\{y - a_3^{(2)}(k_3) + \frac{1}{2}\right\}^+ - \frac{1}{2}\right) dx dy, \quad (2)$$

где

$$g(u, v) = \frac{1}{2\pi\sigma^2} \exp\left\{-\frac{1}{2\sigma^2}(u^2 + v^2)\right\}; \quad (3)$$

$a_3^{(i)}(k_3) = \left\{\frac{d_i}{d_3} k_3\right\}^+$ ,  $i=1, 2$ , — координаты точек (обозначим их через  $a(k_3)$ ), образующих алфавит  $A_3$  и соответствующих одному из значений параметра  $k_3 = \overline{0, d_3-1}$ ;  $B(k_3)$  — область, в которой подынтегральная функция  $g(\cdot, \cdot)$  в выражении (2) принимает при соответствующем  $k_3$  значения, большие, чем при других величинах  $k_3$ .

Наша задача состоит в выборе  $d_1$  и  $d_2$ , максимизирующих вероятность  $P\{\widehat{k}_3=k_3\}$ . С этой целью преобразуем (2) к более удобному для анализа виду.

Дополним единичный квадрат  $\theta_2$ , лежащий в 1-й координатной четверти, с алфавитом  $A_3$ , содержащимся в нем, аналогичными квадратами, перенесенными параллельно во 2-, 3- и 4-ю четверти. Полученный таким образом расширенный квадрат обозначим  $\overline{\theta}_2$ , а расширенный алфавит —  $\overline{A}_2$  (его точки  $\overline{a}(k_3)$  могут совпадать с точками  $a(k_3)$ ).

В [1] доказано, что при некоторых предположениях, выполненных здесь, вероятность  $P\{\widehat{k}_3=k_3\}$  не зависит от выбора значения  $k_3$ . В силу этого можно положить  $k_3=0$ . Данному значению параметра при любом наборе  $d_1, d_2, d_3$  соответствует точка алфавита, совпадающая с началом координат. В свою очередь, этой точке соответствует в квадрате  $\theta_2$  область  $B^{(0)}$ , состоящая из четырех частей, лежащих в углах данного квадрата. В квадрате  $\overline{\theta}_2$  вместо  $B^{(0)}$  можно рассматривать связную область  $\overline{B}^{(0)}$ , лежащую в окрестности точки  $O(0, 0)$ . В этом случае упрощается также и подынтегральная функция в выражении (2). Она принимает вид  $g(x, y)$  и не зависит от параметров  $d_1, d_2, d_3$ .

Заметим теперь, что алфавит  $A_3$  в силу теоремы 2 [1] инвариантен относительно преобразования параметров  $d_i$  вида

$$\left\{ \frac{d_i^*}{d_3^*} \right\}^+ = \left\{ \frac{d_i t}{d_3} \right\}^+, \quad i = 1, 2, \quad d_3^* = d_3, \quad t = 2, \dots, d_3 - 1,$$

или в эквивалентной форме

$$d_i t \equiv d_i^* \pmod{d_3}. \quad (4)$$

Данное преобразование меняет лишь соответствие точек алфавита значениям параметра  $k_3$ , но так как при вычислении вероятности (2) используются лишь точки алфавита, а не указанное соответствие, то вероятность  $P\{\widehat{k}_3=k_3\}$  также инвариантна относительно преобразования (4). Используя его, перейдем от набора параметров  $d_1, d_2, d_3$  к набору  $1, d_2^*, d_3^*$  с помощью алгоритма, приведенного в [2] (далее параметры  $d_2^*$  и  $d_3^*$  будут записываться без звездочек).

Укажем простые леммы, устанавливающие дополнительные свойства инвариантности алфавитов и полезные при дальнейшем изложении.

**Лемма 1.** Пусть алфавитам  $A_3'$  и  $A_3''$  отвечают наборы шкал  $(1, d_2', d_3')$  и  $(1, d_2'', d_3'')$  и пусть также  $d_2' + d_2'' = d_3$ . Тогда  $A_3'$  и  $A_3''$  эквивалентны с точностью до поворота  $\theta_2$  относительно оси  $a_3^{(2)} = \frac{1}{2}$  на  $180^\circ$ .

**Доказательство.** По определению координаты точек алфавита равны  $a_3^{(i)}(k) = \left\{ \frac{d_i}{d_3} k \right\}^+$ ,  $i=1, 2, k=0, \overline{d_3-1}$ . Очевидно, что  $a_3^{(1)'}(k) = a_3^{(1)''}(k)$ . Далее

$$\begin{aligned} a_3^{(2)'}(k) &= \left\{ \frac{d_2'}{d_3} k \right\}^+ = \left\{ \frac{d_3 - d_2''}{d_3} k \right\}^+ = \left\{ -\frac{d_2''}{d_3} k \right\}^+ = \\ &= 1 - \left\{ \frac{d_2''}{d_3} k \right\}^+ = 1 - a_3^{(2)''}(k), \end{aligned}$$

что и доказывает лемму.

Заметим, что приведенное утверждение позволяет ограничиться анализом изменения  $d_2$  в области  $2, \dots, (d_3-1)/2, d_3-1$ .

**Лемма 2.** Если  $d_2' d_2'' \equiv 1 \pmod{d_3}$ , то алфавиты  $A_3'$  и  $A_3''$  симметричны относительно биссектрисы 1-го координатного угла. Если  $d_2' d_2'' \equiv -1 \pmod{d_3}$ , то алфавиты  $A_3'$  и  $A_3''$  «ортогональны» (повернуты один относительно другого на  $90^\circ$  вокруг центра квадрата  $\theta_2$ ).

**Доказательство** ради краткости проведем лишь для случая  $d_2''d_2'' = d_3 + 1$ . Очевидны следующие соотношения:

$$a_3^{(1)'}(k) = \left\{ \frac{1}{d_3} k \right\}^+ = \left\{ \frac{d_2''}{d_3} \frac{k}{d_2''} \right\}^+;$$

$$a_3^{(2)'}(k) = \left\{ \frac{d_2''}{d_3} k \right\}^+ = \left\{ \frac{d_3 + 1}{d_2'' d_3} k \right\}^+ = \left\{ \frac{k}{d_2''} + \frac{1}{d_3} \frac{k}{d_2''} \right\}^+.$$

Согласно теореме 2 [1], для точек алфавита  $A_3'$  в качестве значений  $k$  можно выбрать  $0, d_2'', 2d_2'', \dots, (d_3 - 1)d_2''$  (при этом мы получим все точки алфавита). Но в этом случае  $\frac{k}{d_2''} = l$ , где  $l$  — целое число, принимающее значения  $0, 1, \dots, d_3 - 1$  и

$$a_3^{(1)'}(k) = \left\{ \frac{d_2''}{d_3} l \right\}^+ = a_3^{(2)''}(l);$$

$$a_3^{(2)'}(k) = \left\{ \frac{1}{d_3} l \right\}^+ = a_3^{(1)''}(l),$$

что и требовалось доказать.

Опишем теперь точно область  $\bar{B}^{(0)}$ , по которой производится интегрирование функции  $g(x, y)$  с целью максимизации вероятности  $P\{\hat{k}_3 = k_3, k_3 = 0\}$  в зависимости от  $d_2$ .

Прежде всего укажем простой графический способ получения алфавита  $A_3$ , отвечающего набору шкал  $1, d_2, d_3$  (рис. 1). Соединим точки с координатами  $(0, -(d_2 - 1))$  и  $(1, 1)$  отрезком прямой и разделим его на  $d_3$  равных частей. Куски отрезка, расположенные между прямыми  $y = -l$  и  $y = -(l - 1)$  ( $l = \overline{1, d_2 - 1}$ ), с лежащими на них точками деления, перенесем в направлении оси  $Oy$  в квадрат  $\theta_2$ . Перенесенные таким образом точки деления и будут составлять алфавит  $A_3$ . Нетрудно видеть, что они лежат на  $d_2$  параллельных прямых, первая из которых проходит через точку  $O(0, 0)$  и имеет угловой коэффициент, равный  $d_2$ . В общем случае уравнения указанных прямых имеют вид

$$y = d_2 x - (i - 1), \quad i = \overline{1, d_2}, \quad (5)$$

причем расстояния между соседними точками алфавита, лежащими на них, равны  $d_3^{-1} \sqrt{d_2^2 + 1}$ .

Опишем теперь процедуру нахождения точек расширенного алфавита  $A_3$ , участвующих в образовании области  $\bar{B}^{(0)}$  (рис. 2, а). Рассмотрим прямую  $y = d_2 x - 1$ , которая из описанного выше семейства прямых (5) находится на кратчайшем расстоянии от точки  $O(0, 0)$  и не проходит через нее. На этой прямой выберем точки  $\bar{a}(k)$  и  $\bar{a}(k + 1)$ , ближайшие к началу координат. Нетрудно видеть, что при этом

$$k = \left[ \frac{d_2 d_3}{d_2^2 + 1} \right]^+ \quad (6)$$

и точки  $\bar{a}(k)$  и  $\bar{a}(k + 1)$  имеют координаты  $x_k = k/d_3$ ,  $y_k = d_2 x_k - 1$  и  $x_{k+1} = (k + 1)/d_3$ ,  $y_{k+1} =$

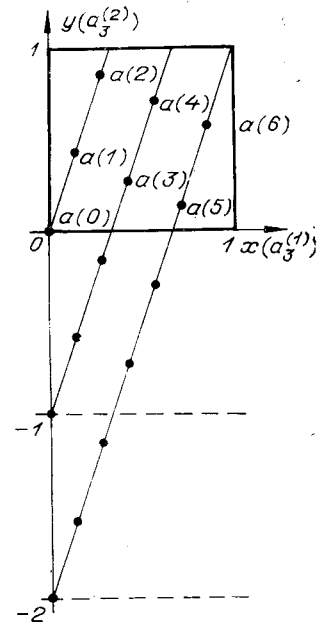


Рис. 1. Графический способ получения алфавита  $A_3$  ( $d_1 = 1; d_2 = 3; d_3 = 7$ ).

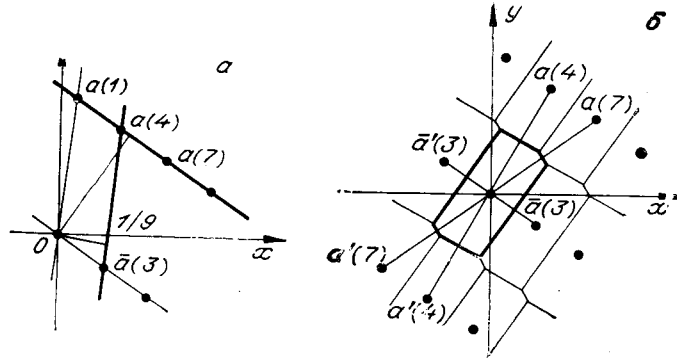


Рис. 2. Геометрическое представление решающей схемы, использующей расширенный алфавит:

$a$  — нахождение точек расширенного алфавита  $\bar{A}_3$ , участвующих в образовании области  $\bar{B}^{(0)}$ ;  $b$  — построение области  $\bar{B}^{(0)}$  ( $d_1=1$ ;  $d_2=9$ ;  $d_3=29$ ).

$=d_2x_{k+1}-1$  соответственно (новые обозначения  $x_k, y_k$  аналогичны старым —  $a_3^{(1)}(k), a_3^{(2)}(k)$ ).

Рассмотрим теперь второе семейство параллельных прямых, одна из которых проходит через начало координат и выделенную ранее точку  $\bar{a}(k)$ . Их уравнения имеют вид

$$y = (d_2k - d_3)x/k + (j-1)/k, \quad j=1, 2, \dots, \quad (7)$$

где, как и ранее,  $k$  определяется соотношением (6).

Возьмем ту из прямых семейства (7), которая ближе всего к точке  $O(0, 0)$ , но не проходит через нее. Очевидно, уравнение этой прямой имеет вид

$$y = (d_2k - d_3)x/k + 1/k \quad (8)$$

и на ней лежат точки  $\bar{a}(1), \bar{a}(k+1), \bar{a}(2k+1)$  и т. д. На указанной прямой определим точки  $\bar{a}((r-1)k+1)$  и  $\bar{a}(rk+1)$ , ближайšie к началу координат. При этом, как нетрудно показать,

$$r = \left\lceil \frac{d_2(d_3 - d_2k) - k}{(d_3 - d_2k)^2 + k^2} \right\rceil + 1 \quad (9)$$

и абсциссы точек  $\bar{a}((r-1)k+1), \bar{a}(rk+1)$  равны  $((r-1)k+1)/d_3, (rk+1)/d_3$  соответственно, а их ординаты определяются уравнением (8).

Процедура нахождения точек расширенного алфавита  $\bar{A}_3$ , участвующих в образовании области  $\bar{B}^{(0)}$ , закончена. Эти точки суть:  $O, \bar{a}(k), \bar{a}((r-1)k+1), \bar{a}(rk+1)$  ( $k$  и  $r$  определяются соотношениями (6) и (9)) и симметричные трем последним относительно начала координат точки  $\bar{a}'(k), \bar{a}'((r-1)k+1), \bar{a}'(rk+1)$  (см. рис. 2, б).

Легко видеть теперь, что область  $\bar{B}^{(0)}$  задается неравенствами

$$g(x, y) \geq g\left(\left\{x - x_{h_3} + \frac{1}{2}\right\}^+ - \frac{1}{2}, \left\{y - y_{h_3} + \frac{1}{2}\right\}^+ - \frac{1}{2}\right),$$

где  $x_{h_3}, y_{h_3}$  — координаты точек  $\bar{a}(k), \bar{a}((r-1)k+1), \bar{a}(rk+1)$  и симметричных им. Из метода построения указанных точек следует также, что любые другие точки алфавита  $A_3$  не будут влиять на  $\bar{B}^{(0)}$ . Если функция  $g(x, y)$  имеет вид (3), то геометрически область  $\bar{B}^{(0)}$  представляет собой шестиугольник, образованный перпендикулярами, проведенными к серединам отрезков  $O\bar{a}(k), O\bar{a}((r-1)k+1), O\bar{a}(rk+1), O\bar{a}'(k), O\bar{a}'((r-1)k+1), O\bar{a}'(rk+1)$ . Заметим, что фигура  $\bar{B}^{(0)}$  центрально-симметрична относительно начала координат, любые две ее противоположные стороны служат таковыми же сторонами прямоугольника

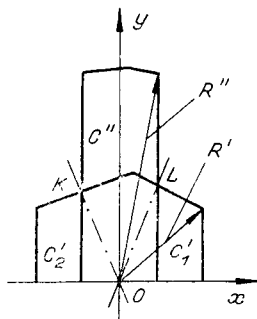


Рис. 3. Сравнение областей  $\bar{B}_{R'}^{(0)}$  и  $\bar{B}_{R''}^{(0)}$  решающих схем, соответствующих различным  $d_2$  ( $R'$  отвечает набору шкал 1, 5, 29;  $R''$  — 1, 14, 29).

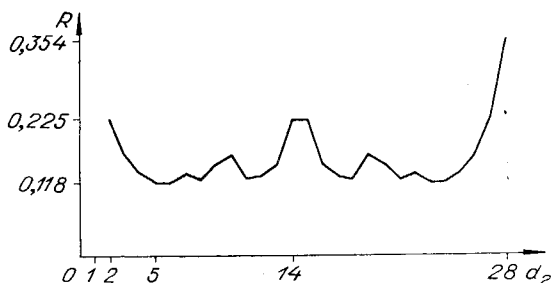


Рис. 4. Зависимость радиуса  $R$  области  $\bar{B}^{(0)}$  от изменения шкалы  $d_2$  ( $d_1=1$ ;  $d_3=29$ ).

и, кроме того, площадь  $\bar{B}^{(0)}$  при любом  $d_2$  постоянна и равна  $1/d_3$ . Нетрудно показать также, что для всякого  $d_2$  полученный шестиугольник можно вписать в круг, радиус  $R$  которого назовем радиусом шестиугольника. Этот радиус равен радиусу окружности, описанной вокруг точек  $O$ ,  $\bar{a}(k)$ ,  $\bar{a}(rk+1)$ . Последние замечания и полученные ранее выражения для координат точек  $\bar{a}(k)$  и  $\bar{a}(rk+1)$  позволяют без труда вычислить

$$R = \frac{1}{2d_2^2} \sqrt{(k^2 + (d_2k - d_3)^2)((rk+1)^2 + (r(d_2k - d_3) + d_2)^2)((r-1)k+1)^2 + ((r-1)(d_2k - d_3) + d_2)^2)},$$

где  $k$  и  $r$  определяются соотношениями (6) и (9).

Итак, вероятность правильного восстановления параметра  $k_3$  дается формулой

$$P_{d_2}\{\hat{k}_3 = k_3, k_3 = 0\} = \int \int_{\bar{B}^{(0)}} g(x, y) dx dy, \quad (10)$$

где  $g(x, y)$  определяется соотношением (3), а  $\bar{B}^{(0)}$  обладает только что описанными свойствами.

Следующее утверждение позволяет существенно упростить отыскание значения  $d_2$ , максимизирующего вероятность (10).

**Теорема.** Вероятность правильного восстановления параметра  $k_3$ , задаваемая формулой (10), является монотонно убывающей функцией радиуса  $R$  области  $\bar{B}^{(0)}$ .

**Доказательство.** Рассмотрим половины областей  $\bar{B}_{R'}^{(0)}$  и  $\bar{B}_{R''}^{(0)}$ , соответствующих радиусам  $R'$  и  $R''$ , причем  $R' < R''$  (рис. 3); нетрудно видеть, что  $\bar{B}_{R'}^{(0)}$  и  $\bar{B}_{R''}^{(0)}$  можно рассматривать именно в таком повернутом состоянии. Ясно, что площадь  $C_1' + \text{площадь } C_2' = \text{площади } C''$ . Отобразив  $C_1'$  симметрично относительно  $OL$  и  $C_2'$  — относительно  $OK$ , заметим, что эти области лежат «ближе» к началу координат, чем область  $C''$ . Отсюда, принимая во внимание вид подынтегральной функции  $g(x, y)$ , получаем требуемое.

*Замечание.* График функции  $R(P\{\hat{k}_3 = k_3\})$  от  $d_2$  обладает симметрией в смысле леммы 1: при  $d_2' + d_2'' = d_3$   $R_{d_2'} = R_{d_2''}$  ( $P_{d_2'}\{\hat{k}_3 = k_3\} = P_{d_2''}\{\hat{k}_3 = k_3\}$ ). Другие значения  $d_2'$  и  $d_2''$ , при которых выполняются последние равенства, даются леммой 2.

Пример. Пусть  $d_3=29$ . Выбирая вначале  $d_1=1$ , получим зависимость радиуса  $R$  области  $\bar{B}^{(0)}$  решающей схемы рассматриваемого алфавитного метода от изменения шкалы  $d_2$  (рис. 4). Интересно заметить, что наибольших значений  $R$  достигает на концах области определения  $d_2=2$ ,  $d_3-1$ . Следующий по величине (локальный) максимум находится в середине интервала изменения  $d_2$ , еще меньшие — вблизи точек  $d_3/3$  и  $2d_3/3$  и т. д. Наименьшего значения  $R$  достигает в точках  $d_2$ , равных 5, 6, 23, 24. Согласно доказанной теореме, при этом вероятность  $P_{d_2}\{\hat{k}_3=k_3\}$  правильного восстановления параметра  $k_3$  максимальна. Таким образом, в рассматриваемом примере оптимальным набором шкал является, например, тройка чисел 1, 5, 29. В силу изложенного ранее оптимальными являются также наборы шкал, полученные из указанного с помощью преобразования (4), например, 9, 16, 29; 10, 21, 29 и другие.

Для оптимальных наборов шкал вероятность правильного восстановления параметра  $k_3$  при  $\sigma=0,04$  равна 0,96, в то время как для набора 1, 14, 29 она составляет 0,68.

Есть основания предполагать, что минимум  $R$  достигается при значении  $d_2$ , лежащем вблизи  $\sqrt{d_3}$ . Однако установить этот факт аналитически не удалось ввиду весьма сложной зависимости  $R$  от  $d_2$ .

#### ЛИТЕРАТУРА

1. Глобенко Ю. В., Скрыпник Г. И. О разрешении неоднозначности циклических измерений. — «Автометрия», 1972, № 4, с. 63—68.
2. Виноградов И. М. Основы теории чисел. М., «Наука», 1965.

Поступила в редакцию  
17 августа 1977 г.

УДК 621.396.969.11

Г. И. СКРЫПНИК

(Москва)

### О РЕКУРРЕНТНОЙ ПРОЦЕДУРЕ РАСКРЫТИЯ НЕОДНОЗНАЧНОСТИ ФАЗОВЫХ ИЗМЕРЕНИЙ

Основная задача обработки информации в радиointерферометрических системах определения координат объекта состоит в нахождении однозначной оценки определяемого параметра (дальности или направляющего косинуса) по результатам неоднозначных измерений дробных частей фазы в шкалах, различающихся значениями масштабных коэффициентов [1, 2]. Априорные сведения о многошкальной системе представлены в виде неполной линейной системы целочисленных уравнений

$$x = (k_1 + \varphi_1)/d_1 = \dots = (k_i + \varphi_i)/d_i = \dots = (k_m + \varphi_m)/d_m, \quad (1)$$

где  $x$  — определяемый параметр, принимающий значение из интервала  $[a, b]$ ;  $k_i = [d_i x]^+$  и  $\varphi_i = \{d_i x\}^+$  — соответственно целая и дробная части фазы  $\Phi_i = d_i x$ ;  $d_i$  — масштабный коэффициент  $i$ -й шкалы;  $d_m (d_m > d_i, i \neq m)$  — внешний масштаб системы;  $m$  — число шкал. Наблюдаемые значения дробных частей фазы  $\hat{\varphi}_i = \{\varphi_i + \psi_i\}^+$  в общем случае содержат случайные ошибки измерений

$$\psi_i = \{\hat{\varphi}_i - \varphi_i + 1/2\}^+ - 1/2, \quad i = \overline{1, m}, \quad (2)$$